

Prosiding
ANNUAL RESEARCH SEMINAR 2016
6 Desember 2016, Vol 2 No. 1

ISBN : 979-587-626-0 | UNSRI

<http://ars.ilkom.unsri.ac.id>

Visualisasi Serangan Brute Force Menggunakan Metode K-Means dan Naïve Bayes

Sari Sandra

Computer Engineering Department
Faculty of Computer Science
Sriwijaya University, Inderalaya 30662
South Sumatera, Indonesia
09121001005@students.ilkom.unsri.ac.id

Deris Stiawan

Computer Engineering Department
Faculty of Computer Science
Sriwijaya University, Inderalaya 30662
South Sumatera, Indonesia
deris@unsri.ac.id

Ahmad Heryanto

Computer Engineering Department
Faculty of Computer Science
Sriwijaya University, Inderalaya 30662
South Sumatera, Indonesia
hery@unsri.ac.id

Abstrak—Penelitian ini menyajikan visualisasi dalam bidang two dimensional (2D) untuk mengkategorikan paket ISCX dan DARPA dataset. Paket data akan dibedakan dalam dua kategori yaitu paket data attack dan paket data normal berdasarkan pattern serangan brute force. Serangan bruteforce melakukan penyerangan pada beberapa layananprotokol seperti secure shell (SSH) dan telecommunicationnetwork (Telnet). Pada ISCX dataset serangan brute force terjadi pada layanan SSH , sedangkan DARPA dataset terjadi pada layanan TELNET. Metode K-Means dan metode Naïve Bayes diimplementasikan pada penelitian ini untuk mendapatkan hasil pengkategorian yang efektif Hasil akhir dari penelitian menunjukkan metode yang digunakan mendapatkan hasil yang baik dalam hal accuracy dengan mengurangi false alarm yang terjadi.

Kata Kunci—Visualisasi, ISCX dataset, DARPA dataset,Brute force, Metode K-Means dan Metode Naïve Bayes

I. PENDAHULUAN

Salah satu teknik, serangan yang paling umum digunakan oleh para penyerang (*attacker*) adalah *brute force attack* dengan persentase serangan mencapai 25% dibawah serangan Denial of Service (DoS) [1], [2], [3]. Pada serangan *brute force*, *attacker* mencoba untuk *login* menggunakan protokol SSH dan telnet untuk mengungkapkan *password login* [2]. Protokol ini memungkinkan pertukaran data antara dua perangkat jaringan, yang banyak digunakan pada sistem berbasis *Linux* dan *Unix* [4].

Secara garis besar *brute force* dapat diklasifikasikan dalam dua kategori dalam menganalisa pola paket serangan, yaitu kategori paket data *attack* dan kategori paket data normal. Kategori pola *brute force attack*, dapat dilakukan dengan memanfaatkan metode K-Means dan metode Naïve Bayes yang berasal dari algoritma *data mining* untuk *intrusion detection* [5]. Metode K-Means dan metode Naïve Bayes akan mengkategorikan data dari himpunan data yang ada dengan tujuan akhir memberikan hasil visual terhadap serangan yang terjadi pada *dataset*.

Paper ini berisi beberapa bagian antara lain, bagian 2 memberikan penjelasan berupa penelitian terkait bidang yang dibahas. Bagian 2, memberikan penjelasan berupa metodologi penelitian. Bagian 3, menjelaskan hasil dari penelitian, dan bagian 4 menyimpulkan hasil penelitian serta memberikan saran untuk penelitian selanjutnya.

II. PENELITIAN TERKAIT

Pada penelitian [6] tahun 2013, membahas mengenai pendekripsi serangan *brute force* SSH dalam lalu lintas jaringan

Lawrence Berkeley National Laboratory (LBNL), sebuah laboratorium penelitian nasional US. Penelitian tersebut menunjukkan terdapat perubahan secara signifikan dalam protokol SSH ketika serangan *brute force* terjadi.

Dalam studi lain [7], membahas mengenai *intrusion detection dataset* menggunakan algoritma K-Means clustering. Penelitian ini mencoba untuk *clustering dataset* menjadi kategori normal dan kategori serangan yaitu DOS, Probe, R2L dan U2R. Akan tetapi, penelitian ini hanya menggunakan NSL-KDD dataset untuk *clustering dataset*.

Selain penggunaan algoritma K-Means, terdapat algoritma Naïve Bayes yang dapat digunakan dalam mengidentifikasi *intrusion detection*, seperti pada penelitian [8]. Penelitian ini membahas mengenai penggunaan algoritma K-Means dan Naïve Bayes untuk mengatasi *false alarm* dengan menggunakan ISCX dataset.

Pada penelitian [9], membahas mengenai pendekripsi secara otomatis suatu *attack* menggunakan *Parallel Coordinate Attack Visualization* (PCAV). Penelitian ini, mendekripsi *attack internet* dalam skala besar seperti *internet worms*, *DDOS* dan *network scanning*.

Selanjutnya penelitian [10], membahas pendekripsi serangan untuk mengevaluasi kinerja sistem tanpa *monitoring* dalam mendekripsi anomali. Penelitian ini menggunakan KDD Cup 1999 dataset dengan algoritma K-Means clustering.

Prosiding
ANNUAL RESEARCH SEMINAR 2016
6 Desember 2016, Vol 2 No. 1

ISBN : 979-587-626-0 | UNSRI

<http://ars.ilkom.unsri.ac.id>

Namun, penelitian ini memanfaatkan *cluster 3.0 tool* dan *TreeView visualization tool*.

III. METODOLOGI PENELITIAN

Penelitian ini menggunakan metode K-Means dan Naïve Bayes dalam mengkategorikan pola paket berupa pola paket serangan atau pola paket normal pada ISCX dan DARPA dataset. Penggunaan kedua metode tersebut, diharapkan dapat mewujudkan sistem dengan memberikan gambaran visual dalam mengkategorikan serangan *brute force* dengan akurasi pendekripsi yang baik.

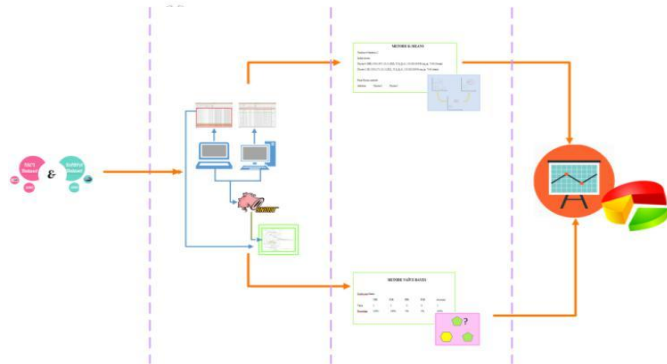
Selain itu, penelitian ini menggunakan perangkat lunak untuk mendukung sistem yang dipakai pada penelitian. Berikut, spesifikasi kebutuhan perangkat lunak yang dijelaskan pada tabel 1.

Tabel 1. Spesifikasi Kebutuhan Perangkat Lunak

Sistem	Tools	Keterangan
NIDS SSH dan TELNET	Snort	Versi 2.9.8.0
Attack Pattern dan Normal Pattern	Visual Studio	2012
Visualisasi	Visual Studio	2012

Pada tabel 1, diketahui bahwa perangkat lunak yang digunakan berupa snort dan visual studio. Snort digunakan sebagai NIDS (Network Intrusion Detection System) dalam mendekripsi serangan brute force pada layanan SSH dan TELNET, sedangkan visual studio digunakan sebagai sistem Attack Pattern dan NormalPattern serta digunakan untuk visualisasi paket data.

Kami memberikan gambaran dalam memvisualisasikan serangan brute force pada gambar 1, berikut ini.



Gambar 1. Tahapan Penelitian, dengan label (A)dataset, (B)attack pattern dan normal pattern, (C) metode K-Means dan Naïve Bayes dan (D) visualisasi

Pada gambar 1, diketahui bahwa tahapan awal pada penelitian ditunjukkan pada label (A), berupa penelitian pada dataset, kemudian dataset tersebut akan diolah pada tahapan attack pattern dan normal pattern yang ditunjukkan pada label

(B). Padatahapan attack pattern dan normal pattern digunakan tool snort dan traceroute untuk validasi dataset. Tahapan selanjutnya merupakan tahapan pada label (C) berupa penggunaan metode K-Means dan Naïve Bayes pada dataset sehingga, didapatkan hasil visualisasi dengan akurasi pendekripsi yang baik pada tahapan penelitian dengan label (D). Berikut merupakan penjelasan lebih terperinci dari setiap tahapan penelitian yang dilakukan :

3.1. Dataset

Dataset yang digunakan dalam penelitian adalah ISCX dataset dan DARPA dataset dalam format CSV (*Comma Separated Values*). ISCX dataset merupakan dataset yangdigunakan untuk meng-capture lalu lintas jaringan yang dikembangkan oleh Fakultas Ilmu Komputer, Universitas New Brunswick [11]. ISCX dataset mensimulasikan skenario serangan *infiltrating the network from the inside*, *HTTP denial of service*, *distributed denial of service an IRC Botnet* dan *brute force SSH*pada tanggal 11-17 Juni 2010.

ISCX dataset dalam penelitian hanya berfokus pada satu skenario serangan yaitu *brute force* pada tanggal 17 Juni 2010 di layanan *secure shell* (SSH) yang terdiri dari 20 features dengan 5540 packets. SSH menyediakan *service remote log-in* yang cukup aman serta memiliki sistem otentikasi dan otorisasi, sehingga untuk mengakses *service* ini dibutuhkan *log-in* yang dapat menyebabkan terjadinya serangan dengan teknik *brute force*. Layanan SSH merupakan bagian dari protokol TCP.

Berbeda pula, dengan DARPA dataset dimana serangan *brute force* terjadi pada layanan *telecommunication network*

(TELNET) *detection* yang terdiri dari 42 features dengan 1234 packets. Telnet tidak menggunakan mekanisme keamanan berpasistem otentikasi dan teknik enkripsi serta transfer data dalam bentuk *plain-text*, sehingga informasi menjadi ancaman besar dalam jaringan.

DARPA dataset dikumpulkan pada tahun 1998 dan 1999 oleh *Information Systems Technology group of MIT LincolnLaboratory*, dibawah *Defense Advanced Research Projects Agency (DARPA)* dan *Air Force Research Laboratory (AFRL/SNHS)* sponsorship [12]. DARPA diciptakan guna mensimulasikan *traffic* di pangkalan Angkatan Udara AS untuk mengevaluasi sistem *intrusion detection*.

3.2. Attack Pattern dan Normal Pattern

Attack pattern dan *normal pattern* pada penelitian,menggunakan suatu program *matching* dalam menentukan *bruteforce pattern*. Hasil dari program *matching* berupa paket dominan *attack* dan *normal* dalam *dataset* yang akan menjadi *preprocess* pada penelitian selanjutnya.

Tool snort juga digunakan pada tahapan ini untuk membuktikan bahwa benar pada ISCX dan DARPA dataset terdapat serangan *brute force*. Snort dapat bekerja

Prosiding
ANNUAL RESEARCH SEMINAR 2016
15 January 2016 NUSC 100, JKT

ISBN : 979-587-626-0 | UNSRI

<http://ars.ilkom.unsri.ac.id>

dalam 4 mode, yaitu *sniffer*, *packet logger*, *Network Intrusion Detection System*

(NIDS) dan *Intrusion Prevention System* (IPS) [13]. Snort mode NIDS yang digunakan dalam penelitian ini, dengan *setup* dari berbagai *rules* berdasarkan *rule options* untuk mendeteksi serangan sehingga dapat membedakan sebuah paket normal dan paket serangan.

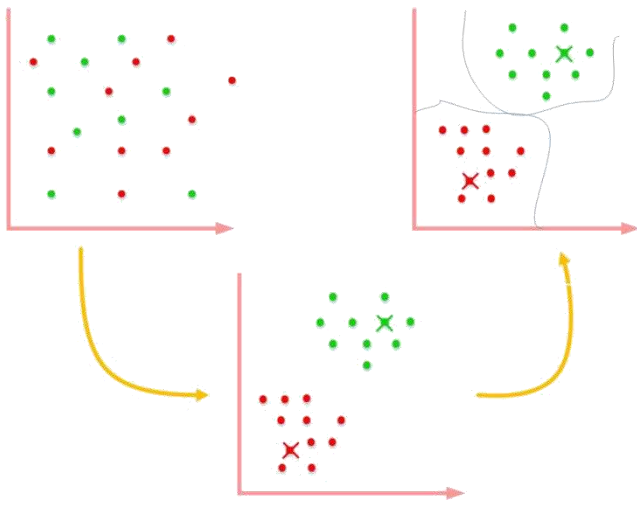
Selain program *matching* dan *tool* snort, pada tahapan ini dilakukan *traceroute* untuk mengetahui rute yang dilalui oleh *attacker* untuk mencapai *server* dalam melakukan aksisernangannya. *Traceroute* juga berguna dalam membuktikan bahwa benar pada ISCX dan DARPA dataset terdapat host *client* dan *server* tertentu.

3.3. Metode K-Means dan Naïve Bayes

Metode K-Means merupakan salah satu metode data *clustering* non-hirarki yang mengelompokkan data dalam bentuk-satu atau lebih *cluster* [14]. Pada metode K-Means, dihitung jarak tiap data ke tiap *cluster* dengan menggunakan *Euclidean Distance* sebagai berikut:

$$(,) = \sqrt{\sum_{k=1}^n (-)^2} ; \quad k = 1, 2, 3, \dots \quad \dots \dots \dots \quad (1)$$

Pada penelitian ini, banyaknya jumlah *cluster* (k) adalah dua, untuk membedakan kategori paket data *attack* dan kategori paket data normal. Berikut gambar 2, yang menunjukkan ilustrasi dari metode K-Means.



Gambar 2. Ilustrasi Metode K-Means (A) banyak cluster dari dataset, (B)inisialisasi *centroid*, (C) pengkategorian dataset

Metode *Naïve Bayes* juga digunakan pada penelitian ini, untuk mengelompokkan paket data dalam pengenalan pola (patternrecognition). *Naïve Bayes* memiliki kecepatan dan

akurasi yang tinggi ketika diaplikasikan pada sebuah data yang besar [15]. Naïve Bayes didasarkan pada teorema *Bayes* memiliki persamaan sebagai berikut.

$$P(H | X) = \frac{P(H) P(X | H)}{P(X)} \quad \dots \dots \dots (2)$$

Metode *Naïve Bayes* akan mengkategorikan suatu data kedalam kategori tertentu berdasarkan probabilitas posterior $P(H | X)$ tertinggi. Klasifikasi suatu data akan terjadi jika dan hanya jika *posterior probability* data H berdasarkan kondisi X $\{P(H | X)\}$ lebih kecil daripada *posterior probability* data H berdasarkan kondisi $X \{P(H | X)\}$

$P(H | X_j) > P(H | X_i)$ (3)
dimana, $j \geq 1$ dan $j \neq i$

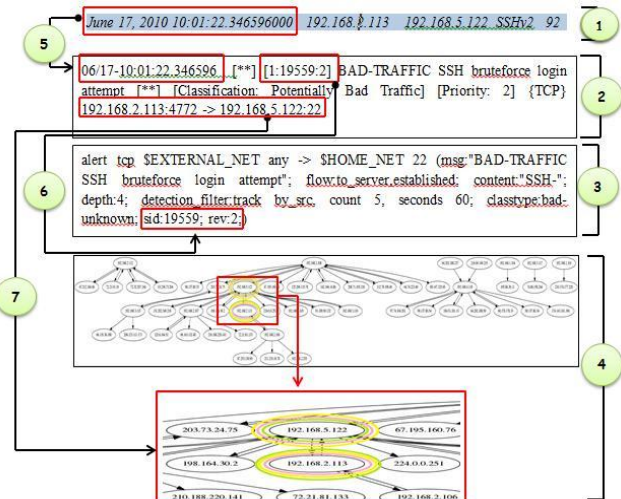
3.4. Visualisasi

Pada penelitian, visualisasi akan menggambarkan suatu pola (*pattern*) dari paket *attack* dan paket normal pada ISCX dan DARPA dataset dengan desain visualisasi *parallel coordinate*. Visualisasi *parallel coordinate* menggambarkan suatu informasi dalam bidang *two dimensional* (2D).

IV. HASIL DAN PEMBAHASAN

Pada awal penelitian, dilakukan proses validasi setiap dataset (ISCX dan DARPA dataset) dalam mendeteksi paket data *attack* dan paket data normal yang membentuk suatu korelasi data

terhadap paket data dengan *engine IDS* serta *traceroute*. Hasil dari proses validasi data tersebut, ditampilkan pada gambar 3 dan gambar 4 berikut ini.



Gambar 3. Korelasi ISCXDataset

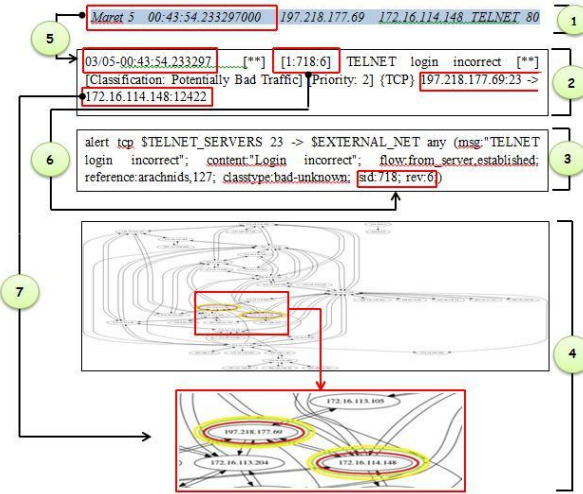
Prosiding

ANNUAL RESEARCH SEMINAR 2016

6 Desember 2016, Vol 2 No. 1

ISBN : 979-587-626-0 | UNSRI

<http://ars.ilkom.unsri.ac.id>



Gambar 4. Korelasi DARPADataset

Pada gambar 3 dan gambar 4, bagian pertama mendeskripsikan packet list dengan data packet capture (pcap) yang berisi informasi mengenai time, source, destination, protocol dan data length. Bagian kedua merupakan contoh alert dari snort engine IDS yang mendeskripsikan hasil deteksi serangan. Bagian ketiga menunjukkan salah satu model rules yang digunakan dalam mendeteksi serangan. Bagian keempat mendeskripsikan traceroute berupa host source dan host destination. Bagian kelima membuktikan korelasi dari data pengujian berdasarkan kecocokkan time antara paket data dengan alert yang terdeteksi pada hasil pengujian. Bagian keenam menunjukkan korelasi data dari alert yang terdeteksi pada hasil pengujian dengan salah satu model rules berdasarkan GID (Generator ID), SID (Signature ID) dan revision number dan bagian ketujuh merupakan korelasi data antara alert snort dengan traceroute berdasarkan kecocokkan host.

Hasil penelitian selanjutnya merupakan hasil penelitian dari tahapan attack pattern dan normal pattern. Berikut, gambar 5 dan gambar 6 yang memberikan hasil dari penelitian attack pattern dan normal pattern pada setiap dataset.

Gambar 5. Attack Pattern dan Normal Pattern ISCX Dataset

Paket Data Dominan																	
No	Label	Protocol	Source IP	Source Port	Destination IP	Destination Port	TotalSourceBytes	TotalDestinationBytes	TotalDestinationPackets	TotalSourcePackets	Direction	SourceTCPFlagsDescription	Destination-TCPFlagsDescription	Service	Flags	DurationBytes	Num_Failed_logins
1	0	TCP	197.218.177.69	172.16.114.148	TELNET	80	1274	12343	11	1724	R2L	S,PA	S,PA	TELNET	RSTO	179	0
2	1	TCP	197.218.177.69	172.16.114.148	TELNET	80	1274	12343	11	1724	R2L	S,PA	S,PA	TELNET	RSTO	179	0
3	2	TCP	197.218.177.69	172.16.114.148	TELNET	80	1274	12343	11	1724	R2L	S,PA	S,PA	TELNET	RSTO	179	0
4	3	TCP	197.218.177.69	172.16.114.148	TELNET	80	1274	12343	11	1724	R2L	S,PA	S,PA	TELNET	RSTO	179	0
5	4	TCP	197.218.177.69	172.16.114.148	TELNET	80	1274	12343	11	1724	R2L	S,PA	S,PA	TELNET	RSTO	179	0
6	5	TCP	197.218.177.69	172.16.114.148	TELNET	80	1274	12343	11	1724	R2L	S,PA	S,PA	TELNET	RSTO	179	0
7	6	TCP	197.218.177.69	172.16.114.148	TELNET	80	1274	12343	11	1724	R2L	S,PA	S,PA	TELNET	RSTO	179	0
8	7	TCP	197.218.177.69	172.16.114.148	TELNET	80	1274	12343	11	1724	R2L	S,PA	S,PA	TELNET	RSTO	179	0
9	8	TCP	197.218.177.69	172.16.114.148	TELNET	80	1274	12343	11	1724	R2L	S,PA	S,PA	TELNET	RSTO	179	0
10	9	TCP	197.218.177.69	172.16.114.148	TELNET	80	1274	12343	11	1724	R2L	S,PA	S,PA	TELNET	RSTO	179	0
11	10	TCP	197.218.177.69	172.16.114.148	TELNET	80	1274	12343	11	1724	R2L	S,PA	S,PA	TELNET	RSTO	179	0
12	11	TCP	197.218.177.69	172.16.114.148	TELNET	80	1274	12343	11	1724	R2L	S,PA	S,PA	TELNET	RSTO	179	0
13	12	TCP	197.218.177.69	172.16.114.148	TELNET	80	1274	12343	11	1724	R2L	S,PA	S,PA	TELNET	RSTO	179	0
14	13	TCP	197.218.177.69	172.16.114.148	TELNET	80	1274	12343	11	1724	R2L	S,PA	S,PA	TELNET	RSTO	179	0
15	14	TCP	197.218.177.69	172.16.114.148	TELNET	80	1274	12343	11	1724	R2L	S,PA	S,PA	TELNET	RSTO	179	0
16	15	TCP	197.218.177.69	172.16.114.148	TELNET	80	1274	12343	11	1724	R2L	S,PA	S,PA	TELNET	RSTO	179	0
17	16	TCP	197.218.177.69	172.16.114.148	TELNET	80	1274	12343	11	1724	R2L	S,PA	S,PA	TELNET	RSTO	179	0
18	17	TCP	197.218.177.69	172.16.114.148	TELNET	80	1274	12343	11	1724	R2L	S,PA	S,PA	TELNET	RSTO	179	0
19	18	TCP	197.218.177.69	172.16.114.148	TELNET	80	1274	12343	11	1724	R2L	S,PA	S,PA	TELNET	RSTO	179	0
20	19	TCP	197.218.177.69	172.16.114.148	TELNET	80	1274	12343	11	1724	R2L	S,PA	S,PA	TELNET	RSTO	179	0
21	20	TCP	197.218.177.69	172.16.114.148	TELNET	80	1274	12343	11	1724	R2L	S,PA	S,PA	TELNET	RSTO	179	0
22	21	TCP	197.218.177.69	172.16.114.148	TELNET	80	1274	12343	11	1724	R2L	S,PA	S,PA	TELNET	RSTO	179	0
23	22	TCP	197.218.177.69	172.16.114.148	TELNET	80	1274	12343	11	1724	R2L	S,PA	S,PA	TELNET	RSTO	179	0
24	23	TCP	197.218.177.69	172.16.114.148	TELNET	80	1274	12343	11	1724	R2L	S,PA	S,PA	TELNET	RSTO	179	0
25	24	TCP	197.218.177.69	172.16.114.148	TELNET	80	1274	12343	11	1724	R2L	S,PA	S,PA	TELNET	RSTO	179	0
26	25	TCP	197.218.177.69	172.16.114.148	TELNET	80	1274	12343	11	1724	R2L	S,PA	S,PA	TELNET	RSTO	179	0
27	26	TCP	197.218.177.69	172.16.114.148	TELNET	80	1274	12343	11	1724	R2L	S,PA	S,PA	TELNET	RSTO	179	0
28	27	TCP	197.218.177.69	172.16.114.148	TELNET	80	1274	12343	11	1724	R2L	S,PA	S,PA	TELNET	RSTO	179	0
29	28	TCP	197.218.177.69	172.16.114.148	TELNET	80	1274	12343	11	1724	R2L	S,PA	S,PA	TELNET	RSTO	179	0
30	29	TCP	197.218.177.69	172.16.114.148	TELNET	80	1274	12343	11	1724	R2L	S,PA	S,PA	TELNET	RSTO	179	0
31	30	TCP	197.218.177.69	172.16.114.148	TELNET	80	1274	12343	11	1724	R2L	S,PA	S,PA	TELNET	RSTO	179	0
32	31	TCP	197.218.177.69	172.16.114.148	TELNET	80	1274	12343	11	1724	R2L	S,PA	S,PA	TELNET	RSTO	179	0
33	32	TCP	197.218.177.69	172.16.114.148	TELNET	80	1274	12343	11	1724	R2L	S,PA	S,PA	TELNET	RSTO	179	0
34	33	TCP	197.218.177.69	172.16.114.148	TELNET	80	1274	12343	11	1724	R2L	S,PA	S,PA	TELNET	RSTO	179	0
35	34	TCP	197.218.177.69	172.16.114.148	TELNET	80	1274	12343	11	1724	R2L	S,PA	S,PA	TELNET	RSTO	179	0
36	35	TCP	197.218.177.69	172.16.114.148	TELNET	80	1274	12343	11	1724	R2L	S,PA	S,PA	TELNET	RSTO	179	0
37	36	TCP	197.218.177.69	172.16.114.148	TELNET	80	1274	12343	11	1724	R2L	S,PA	S,PA	TELNET	RSTO	179	0
38	37	TCP	197.218.177.69	172.16.114.148	TELNET	80	1274	12343	11	1724	R2L	S,PA	S,PA	TELNET	RSTO	179	0
39	38	TCP	197.218.177.69	172.16.114.148	TELNET	80	1274	12343	11	1724	R2L	S,PA	S,PA	TELNET	RSTO	179	0
40	39	TCP	197.218.177.69	172.16.114.148	TELNET	80	1274	12343	11	1724	R2L	S,PA	S,PA	TELNET	RSTO	179	0
41	40	TCP	197.218.177.69	172.16.114.148	TELNET	80	1274	12343	11	1724	R2L	S,PA	S,PA	TELNET	RSTO	179	0
42	41	TCP	197.218.177.69	172.16.114.148	TELNET	80	1274	12343	11	1724	R2L	S,PA	S,PA	TELNET	RSTO	179	0
43	42	TCP	197.218.177.69	172.16.114.148	TELNET	80	1274	12343	11	1724	R2L	S,PA	S,PA	TELNET	RSTO	179	0
44	43	TCP	197.218.177.69	172.16.114.148	TELNET	80	1274	12343	11	1724	R2L	S,PA	S,PA	TELNET	RSTO	179	0
45	44	TCP	197.218.177.69	172.16.114.148	TELNET	80	1274	12343	11	1724	R2L	S,PA	S,PA	TELNET	RSTO	179	0
46	45	TCP	197.218.177.69	172.16.114.148	TELNET	80	1274	12343	11	1724	R2L	S,PA	S,PA	TELNET	RSTO	179	0
47	46	TCP	197.218.177.69	172.16.114.148	TELNET	80	1274	12343	11	1724	R2L	S,PA	S,PA	TELNET	RSTO	179	0
48	47	TCP	197.218.177.69	172.16.114.148	TELNET	80	1274	12343	11	1724	R2L	S,PA	S,PA	TELNET	RSTO	179	0
49	48	TCP	197.218.177.69	172.16.114.148	TELNET	80	1274	12343	11	1724	R2L	S,PA	S,PA	TELNET	RSTO	179	0
50	49	TCP	197.218.177.69	172.16.114.148	TELNET	80	1274	12343	11	1724	R2L	S,PA	S,PA	TELNET	RSTO	179	0
51	50	TCP	197.218.177.69	172.16.114.148	TELNET	80	1274	12343	11	1724	R2L	S,PA	S,PA	TELNET	RSTO	179	0
52	51	TCP	197.218.177.69	172.16.114.148	TELNET	80	1274	12343	11	1724	R2L	S,PA	S,PA	TELNET	RSTO	179	0
53	52	TCP	197.218.177.69	172.16.114.148	TELNET	80	1274	12343	11	1724	R2L	S,PA	S,PA	TELNET	RSTO	179	0
54	53	TCP	197.218.177.69	172.16.114.148	TELNET	80	1274	12343	11	1724	R2L	S,PA	S,PA	TELNET	RSTO	179	0
55	54	TCP	197.218.177.69	172.16.114.148	TELNET	80	1274	12343	11	1724	R2L	S,PA	S,PA	TELNET	RSTO	179	0
56	55	TCP	197.218.177.69	172.16.114.148	TELNET	80	1274	12343	11	1724	R2L	S,PA	S,PA	TELNET	RSTO	179	0
57	56	TCP	197.218.177.69	172.16.114.148	TELNET	80	1274	12343	11	1724	R2L	S,PA	S,PA	TELNET	RSTO	179	0
58	57	TCP	197.218.177.69	172.16.114.148	TELNET	80	1274	12343	11	1724	R2L	S,PA	S,PA	TELNET	RSTO	179	0
59	58	TCP	197.218.177.69	172.16.114.148	TELNET	80	1274	12343	11	1724	R2L	S,PA	S,PA	TELNET	RSTO	179	0
60	59	TCP	19														

Prosiding
ANNUAL RESEARCH SEMINAR 2016
6 Desember 2016, Vol 2 No. 1

ISBN : 979-587-626-0 | UNSRI

<http://ars.ilkom.unsri.ac.id>

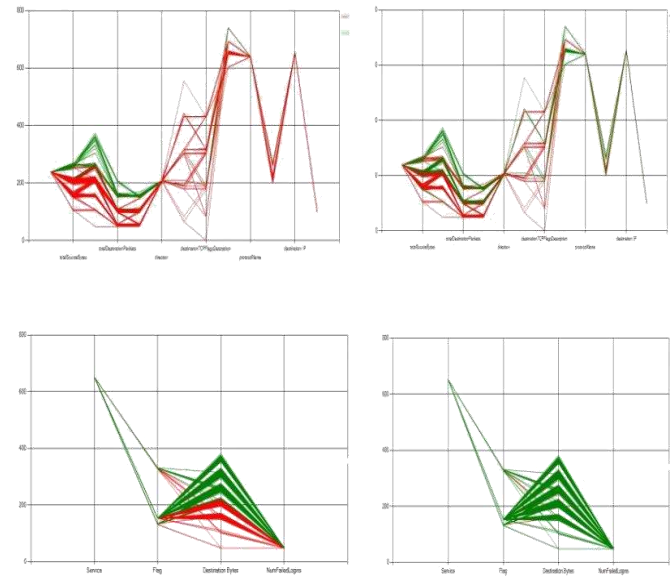
Tahapan penelitian selanjutnya merupakan tahapan penggunaan metode K-Means dan Naïve Bayes pada dataset. Hasil penelitian berdasarkan metode pada setiap dataset, didapatkan suatu serangan yang dikategorikan normal oleh metode K-Means dan Naïve Bayes. Berikut, merupakan hasil penelitian penggunaan metode K-Means dan Naïve Bayes dalam bentuk confusion matrix yang ditunjukkan pada Tabel 2.

Tabel 3. Confusion Matrix dengan Attack dan Normal Pattern

Metode	Dataset	Hasil Kategori				
		TP	TN	FP	FN	Accuracy
<i>K-Means</i>	<i>ISCX</i>	5197	92	245	6	95.46
	<i>DARPA</i>	52	857	325	1	73.60
<i>Naïve Bayes</i>	<i>ISCX</i>	5185	337	18	0	99.68
	<i>DARPA</i>	51	1169	13	2	98.79

Dari tabel 3, dapat diketahui bahwa hasil kategori paket dataset dengan menggunakan metode Naïve Bayes mendapatkan accuracy lebih besar dibandingkan dengan metode K-Means. Accuracy metode Naïve Bayes pada ISCX dan DARPA dataset didapatkan persentase accuracy 99,68% dan 98,779%, sedangkan, metode K-Means pada ISCX dan DARPA dataset didapatkan persentase 95,46 % dan 73,60%. Selain itu, metode Naïve Bayes mendapatkan false alarm yang lebih kecil dibandingkan dengan metode K-Means.

Selanjutnya, pembentukan visualisasi parallel coordinate dapat diimplementasikan kedalam program attack dan normal pattern pada ISCX dan DARPA dataset, ketika tahapan penelitian menggunakan metode telah dilakukan. Berikut screenshot aplikasi visualisasi parallel coordinate yang disajikan pada gambar 8.



Gambar 8. Visualisasi Parallel Coordinate

Gambar 8 menunjukkan visualisasi parallel coordinate dengan label (A) merupakan visualisasi parallel coordinate ISCX dataset dengan menggunakan metode K-Means clustering. Line berwarna merah merupakan attack dengan kategori termasuk cluster 0, sedangkan line hijau merupakan kategori cluster 1 yaitu normal. Label (B) merupakan visualisasi DARPA dataset menggunakan metode Naïve Bayes dengan line merah merupakan kategori cluster 0 yaitu attack dan line hijau merupakan normal yang termasuk kedalam kategori cluster 1. Label (C) memberikan hasil visualisasi parallel coordinate ISCX dataset dengan menggunakan metode Naïve Bayes. Line yang berwarna hijau merupakan paket data yang termasuk kedalam kategori normal, sedangkan line berwarna merah merupakan paket data attack. Label (D) menunjukkan hasil visualisasi DARPA dataset dengan menggunakan metode Naïve Bayes dengan paket data yang dominan termasuk kedalam kategori normal.

V. KESIMPULAN DAN SARAN

Berdasarkan penelitian yang telah dilakukan, maka dapat disimpulkan bahwa serangan *brute force* pada ISCX dataset di layanan SSH membentuk suatu pola serangan dimana satu IP source yang fokus melakukan serangan ke satu server, dengan port destination yang akan di-exploit adalah port 22. Sedangkan, serangan *brute force* pada layanan TELNET didapatkan suatu bentuk pola serangan dimana IP attackers mengalami *failed logins* dengan nilai minimal 1 dengan port

Prosiding
ANNUAL RESEARCH SEMINAR 2016
6 Desember 2016, Vol 2 No. 1

ISBN : 979-587-626-0 | UNSRI

<http://ars.ilkom.unsri.ac.id>

destination yang akan di-exploit adalah port 23 serta *destination bytes* yang terjadi adalah 179 bytes.

Metode K-Means dan metode Naïve Bayes dapat diimplementasikan pada *dataset* dalam mengkategorikan sejumlah paket data *attack* atau paket data normal berdasarkan *attack* dan *normal pattern*. Hasil akhir dari implementasi kedua metode dapat memberikan visualisasi dalam bidang *two dimensional* (2D), berupa visualisasi *scatter plot* atau *parallel coordinate*, dengan *accuracy* pengkategorian yang baik. Metode K-Means dan metode Naïve Bayes yang diimplementasikan pada ISCX *dataset* mendapatkan hasil *accuracy* hingga 95,46% dan 99,68%, sedangkan pada DARPA *dataset* didapatkan nilai *accuracy* 73,60% dan 98,79%.

Penelitian selanjutnya, dapat melakukan visualisasi serangan secara *real time* dengan penambahan jenis serangan seperti *SQL injection*, *probe*, *internet worms* dan *networkscanning*.

VI. PENGHARGAAN

Penelitian ini didukung oleh Jurusan Sistem Komputer, Fakultas Ilmu Komputer, Universitas Sriwijaya serta laboratorium COMNETS research.

DAFTAR PUSTAKA

1. D. Dede, "Most Common Attacks Affecting Today's Website," *Sucuri Blog*, 2014. [Online]. available: <https://blog.sucuri.net/2014/11/most-common-attacks-affecting-todays-websites.html>. [Accessed: 20-May-2016].
2. M. M. Najafabadi, T. M. Khoshgoftaar, C. Kemp, N. Seliya, and R. Zuech, "Machine learning for detecting brute force attacks at the network level," *Proc. - IEEE 14th Int. Conf. Bioinforma. Bioeng. BIBE 2014*, pp. 379–385, 2014.
3. Calyptix, "Follow us ork Attack Types in 2015," 2015. [Online]. Available: <http://www.calyptix.com/top-threats/top-7-network-attack-types-in-2015-so-far/>. [Accessed: 20-May-2016].
4. E. Haryanto, "Meningkatkan Keamanan Port SSH dengan Metode Port Knocking Menggunakan Shorewall Pada Sistem Operasi Linux," *Journal of Chemical Information and Modeling*, vol. 53, no. 9. pp. 1689–1699, 2013.
5. V. Kumar, H. Chauhan, and D. Panwar, "K-Means Clustering Approach to Analyze NSL-KDD Intrusion Detection Dataset," *Int. J. Soft Comput. Eng.*, vol. 3, no. 4, pp. 1–4, 2013.
6. W. Brute and F. Report, "WordPress Brute Force Attacks," *SucuriBlog*, 2016. [Online]. Available: <https://sucuri.net/security-reports/brute-force/>. [Accessed: 29-Feb-2016].
7. M. Kumagai, Y. Musashi, D. A. L. Roma??a, K. Takemori, S. Kubota, and K. Sugitani, "SSH dictionary attack and DNS reverse resolution traffic in campus network," *Proc. - 3rd Int. Conf. Intell. Networks Intell. Syst. ICINIS 2010*, pp. 645–648, 2010.
8. W. Yassin, N. I. Udzir, and Z. Muda, "Anomaly-Based Intrusion Detection Through K-Means Clustering and Naïves Bayes Classification," *Proc. 4th Int. Conf. Comput. Informatics, ICOCI2013*, no. 49, pp. 298–303, 2013.
9. H. Choi, H. Lee, and H. Kim, "Fast detection and visualization of network attacks on parallel coordinates," *Comput. Secur.*, vol. 28, no. 5, pp. 276–288, 2009.
10. a M. Riad, I. Elhenawy, A. Hassan, and N. Awadallah, "V Isualize N Eetwork a Nomaly D Etection B Y U Sing K- Means C Lustering a Lgorithm," vol. 5, no. 5, pp. 195–208, 2013.
11. R. Zuech, T. M. Khoshgoftaar, N. Seliya, M. M. Najafabadi, and C. Kemp, "A New Intrusion Detection Benchmarking System," *Proc. Twenty-Eighth Int. Florida Artif. Intell. Res. Soc. Conf.*, no. McHugh, pp. 252–255, 2015.
12. H. H. Jebur, M. A. Maarof, and A. Zainal, "Jurnal Teknologi Full paper Identifying Generic Features of KDD Cup 1999 for Intrusion Detection," vol. 1, pp. 1–9, 2015.
13. K. S. A. Kahtani, "Improving Snort performance under Linux," no. April, 2009.
14. Y. Agusta, "K-Means - Penerapan, Permasalahan dan Metode Terkait," *J. Sist. dan Inform.*, vol. 3, no. Pebruari, pp. 47–60, 2007.
15. A. Jananto, "Algoritma Naive Bayes untuk Mencari Perkiraan Waktu Studi Mahasiswa $P(H|X)P(X|H)P(H)$," vol. 18, no. 1, pp. 9–16, 2013.